

# MODÉLISATION DE LA PROPAGATION DE FISSURE DANS LES MATÉRIAUX VISCOÉLASTIQUES ORTHOTROPES

Présenté par: Rostand MOUTOU PITTI

Le 21 novembre 2008, Paris

Groupe d'Etude des Matériaux Hétérogènes (GEMH)

Université de Limoges

Centre Universitaire Génie Civil, 19300 Egletons

## Contexte et Objectifs



### Modélisation de la propagation de fissure par CASTEM



Pont du Chavanon (A89)



- Charges permanentes (fluage)
- Variations climatiques
- Taux d'humidité

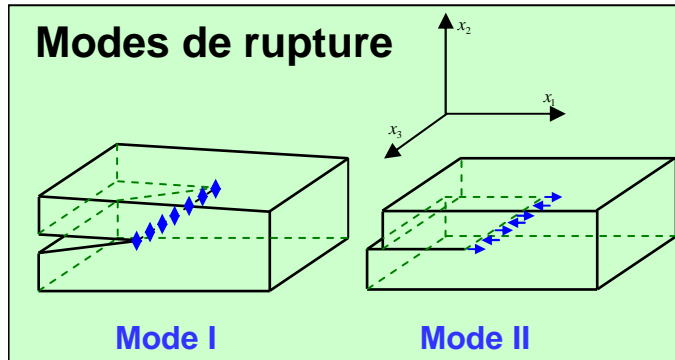


- Défauts des structures (fissures)
- Orientation (sens des fibres)

**Propagation des défauts (cinématiques mixtes)**

**Mécanique de la rupture, viscoélasticité**

## Calcul d'une structure fissurée



### Critères de rupture :

- \* Facteurs d'intensité des contraintes découplés ( $K_I$ ,  $K_{II}$ ).

### Modélisation :

- \* Approche locale ( $K_I$ ,  $K_{II}$ ).
- \* Approche énergétique ( $G$ ,  $J$ ) : champ lointain

### Modélisation par éléments finis

- \* Champ lointain:  $J$  (Rice, 1968),  $G\theta$  (Destuynder, 1983),  $T$  et  $A$  (Bui)
- \* Avantages: Précision, champs singuliers

### Problèmes des invariants intégraux

- \* Paramètre global
- \* Pas d'informations sur le couplage des modes de rupture

## Découplage des modes de rupture

### Pour des milieux isotropes

Si  $G < G_c$  → Fissure stationnaire

Si  $G = G_c$  → Propagation

### Pour des milieux orthotropes

En plan :  $G = G_I + G_{II}$  →  $f(G_I, G_{II}, G_I^c, G_{II}^c)$

$$f = \left( \frac{G_I}{G_I^c} + \frac{G_{II}}{G_{II}^c} - 1 \right) < 0$$

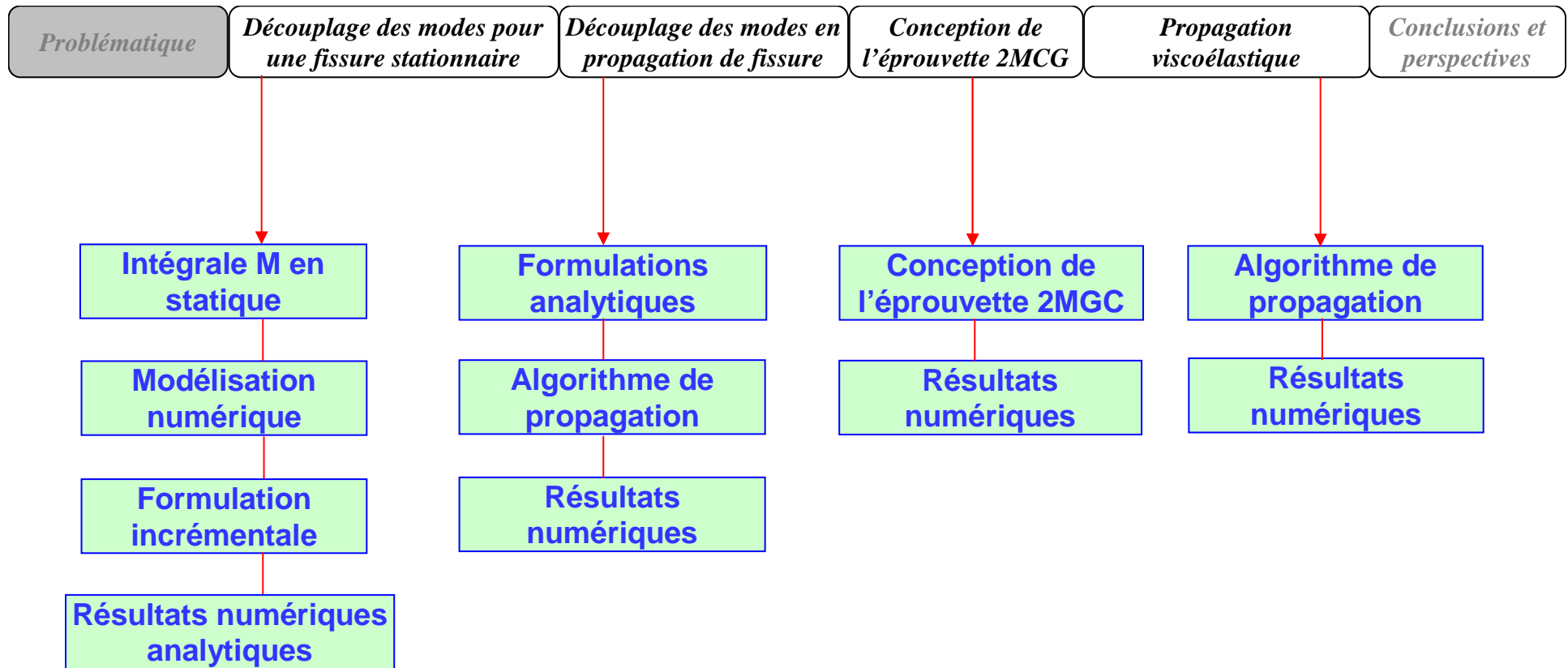
Fissure stationnaire

$$f = \left( \frac{G_I}{G_I^c} + \frac{G_{II}}{G_{II}^c} - 1 \right) = 0$$

Propagation

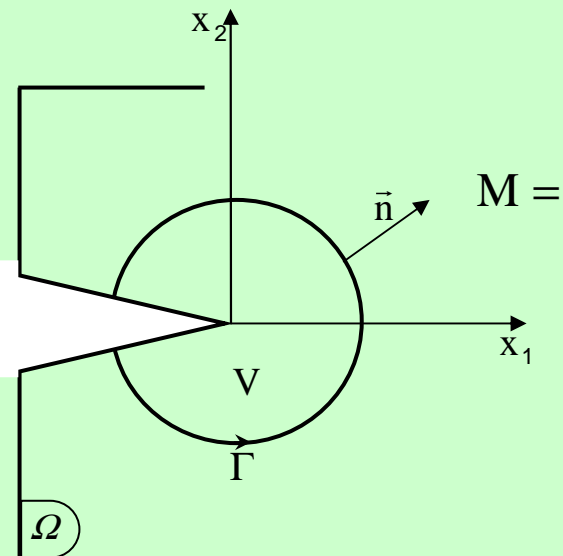
Calcul indépendant de  $G_I$  et  $G_{II}$  ou découplage

**Modélisation de la propagation viscoélastique de la fissure en mode mixte sur CASTEM**



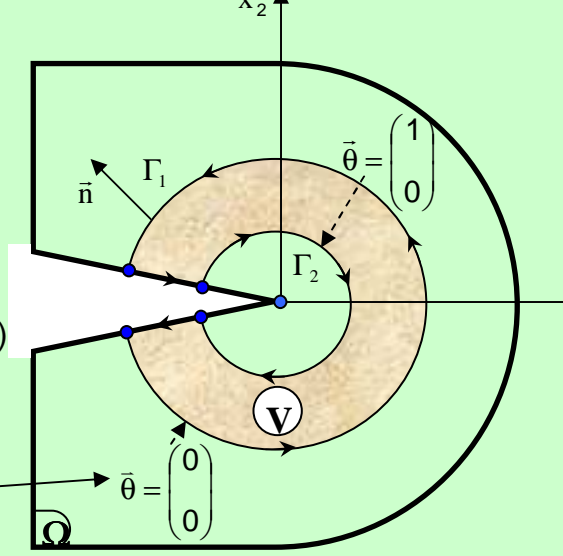
## Intégrale M en statique

**Intégrale M** (Chen et Shiel 1977)



$$M = \frac{1}{2} \int_{\Gamma_1} (\sigma_{ij,1}^v \cdot u_i - \sigma_{ij}^u \cdot v_{i,1}) \cdot n_j d\Gamma$$

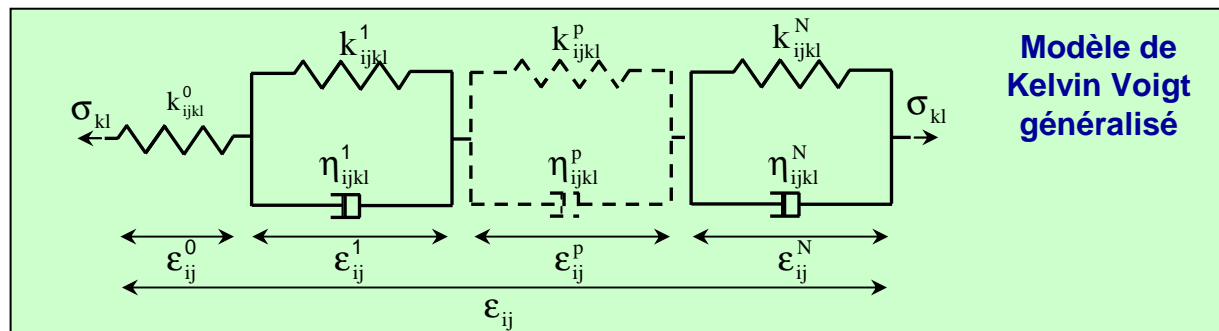
Champ réel      Champ virtuel (Shi 1974)



**Champ  $\theta$**   
(Destuynder et al. 1983)

$$M_v(u, v) = \frac{1}{2} \int_{\Gamma_1} (\sigma_{ij}(u) \cdot v_{i,k} - \sigma_{ij,k}(u) \cdot u_i) \cdot \theta_{k,j} \cdot n_j d\Gamma_1 \quad k = (0, 1, \dots, M)$$

### Généralisation au comportement viscoélastique



$$M\theta_v^p(u, v) = \frac{1}{2} \int_{\Omega} (\sigma_{ij}^p(u) \cdot v_{i,k}^p - \sigma_{ij,k}^p(v) \cdot u_i^p) \theta_{k,j} \cdot n_j d\Gamma_1 \quad \text{avec } p = (0,1,\dots,M)$$

### Facteurs d'intensité des contraintes

$${}^u K_I^k = \frac{8 \cdot M\theta_v^k(u, v) ({}^v K_I^k = 1, {}^v K_{II}^k = 0)}{C_1^k} \quad \text{et} \quad {}^u K_{II}^k = \frac{8 \cdot M\theta_v^k(u, v) ({}^v K_I^k = 0, {}^v K_{II}^k = 1)}{C_2^k}$$

CERO en mode I
CERO en mode II

### Taux de restitution d'énergie

$$G_v^k = {}^1G_v^k + {}^2G_v^k = C_1^k \frac{({}^u K_I^k)^2}{8} + C_2^k \frac{({}^u K_{II}^k)^2}{8} \longrightarrow {}^1G_v = \sum_k {}^1G_v^k \quad \text{et} \quad {}^2G_v = \sum_k {}^2G_v^k$$

### Solution semi analytique (taux de restitution d'énergie)

$$G_1(t) = \frac{1}{8} \cdot [2 \cdot C_1(t) - C_1(2t)] \cdot ({}^u K_1^0)^2 \quad G_2(t) = \frac{1}{8} \cdot [2 \cdot C_2(t) - C_2(2t)] \cdot ({}^u K_2^0)^2$$

Facteurs d'intensité des contraintes élastiques en mode I et II

## Formulation incrémentale

### Lois incrémentales (Gazlan et al 1995; Dubois et al. 2005)

$$\Delta \varepsilon_{ij}(t_n) = M_{ijkl} \cdot \Delta \sigma_{kl}(t_n) + \tilde{\varepsilon}_{ij}(t_{n-1})$$

Incréments des contraintes

Incréments des déformations      Matrice de complaisances      Histoires du matériau

### Résolution éléments finis

$$K_T^p \cdot \{\Delta u^p\}(t_n) = \{\Delta F_{ext}^p\}(t_n) + \{\tilde{F}^p\}(t_{n-1})$$

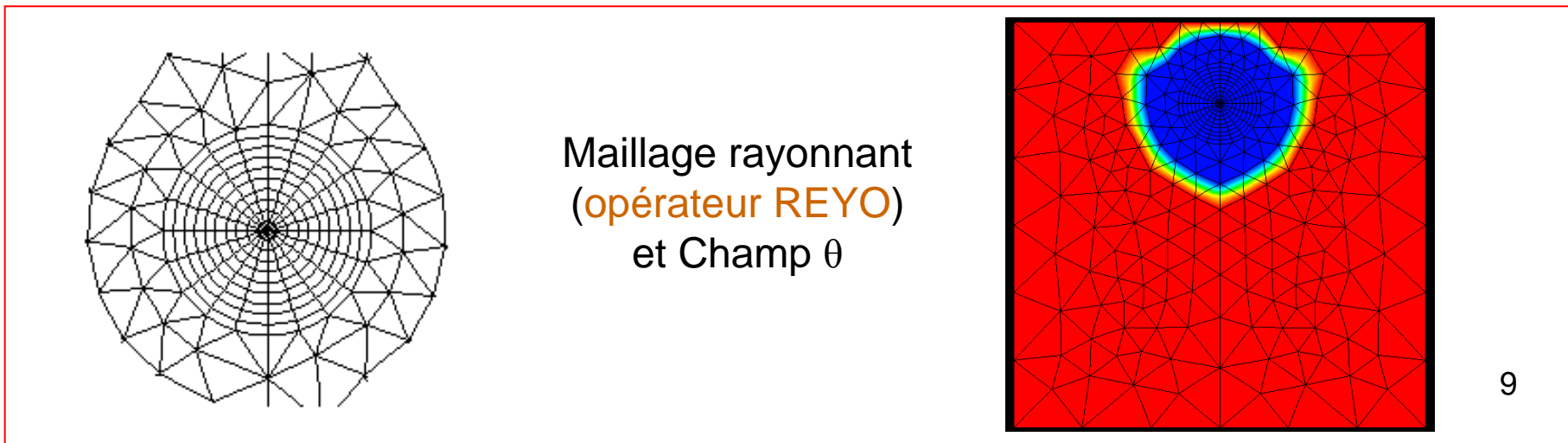
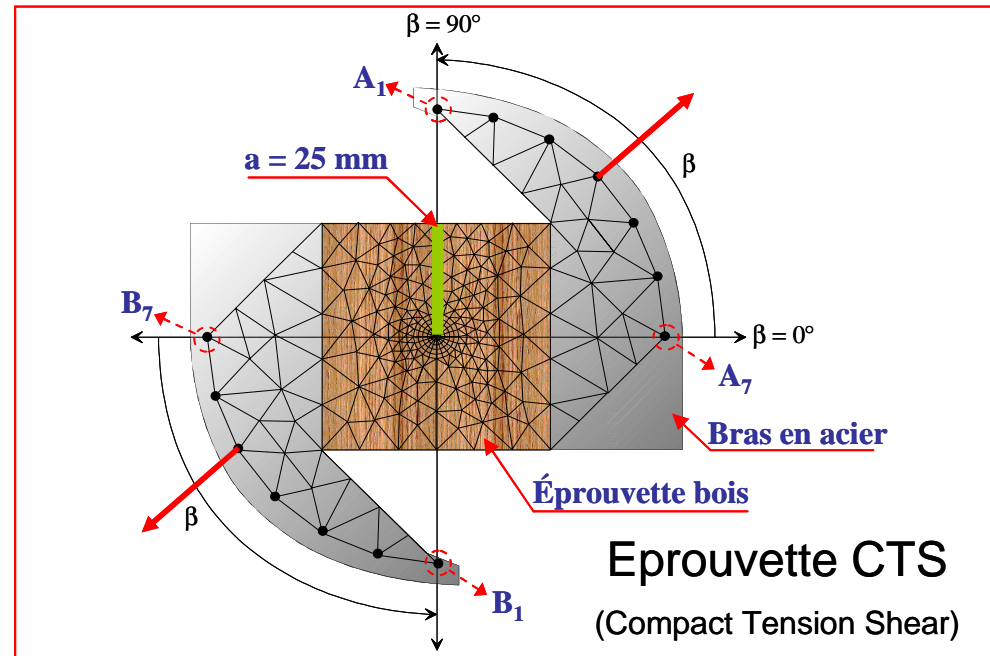
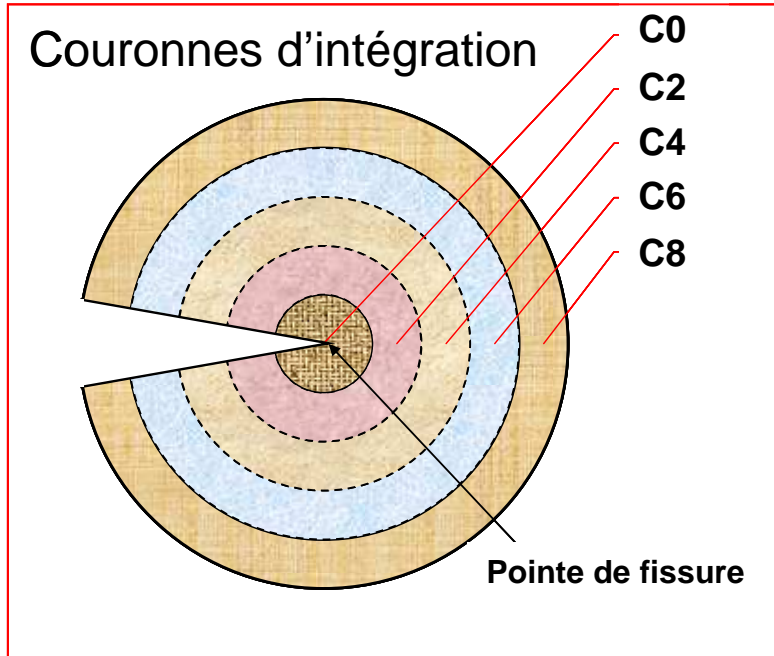
Matrice tangente de rigidité globale      Incréments de champs de déplacements nodaux      Incréments de force nodale      Chargement héréditaire

$$K_T^p = \int_{\Omega} B^T \cdot [M^p]^{-1} \cdot B \, d\Omega$$

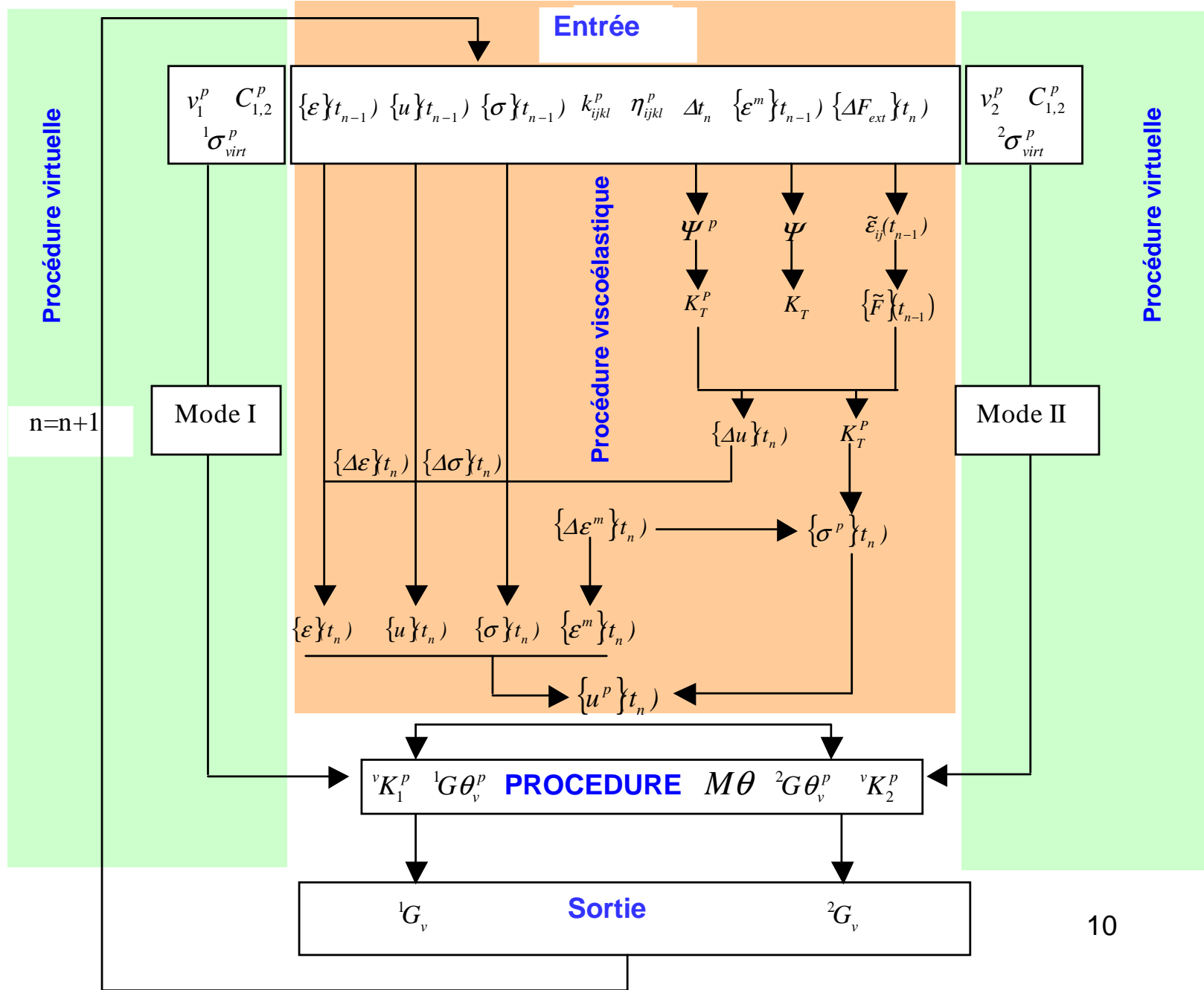
$$\{\tilde{F}^p\}(t_{n-1}) = \int_{\Omega} B^T \cdot M^p \cdot \{\tilde{\varepsilon}^p\}(t_{n-1}) \, d\Omega$$



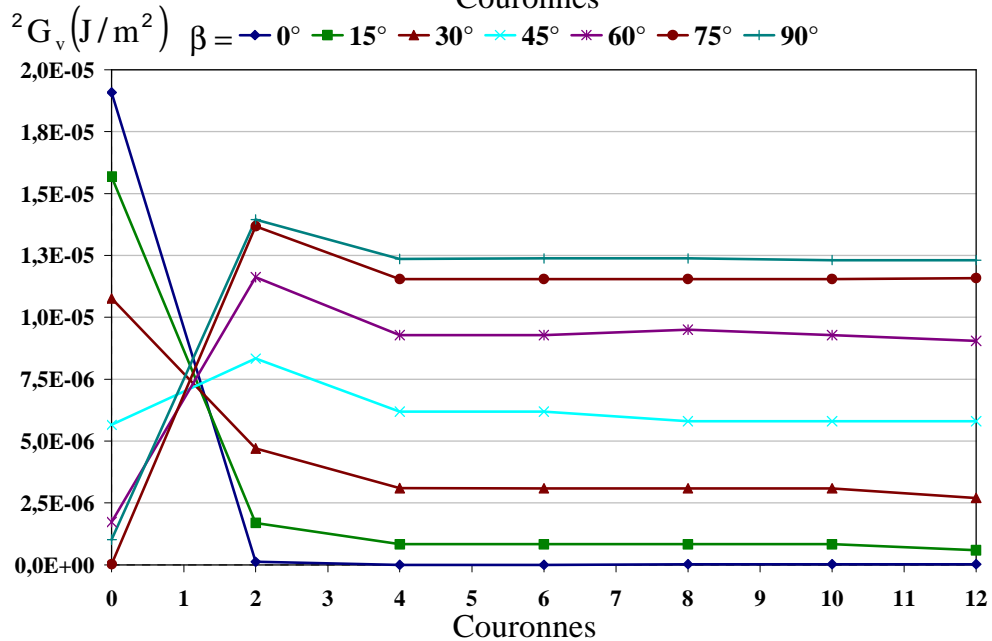
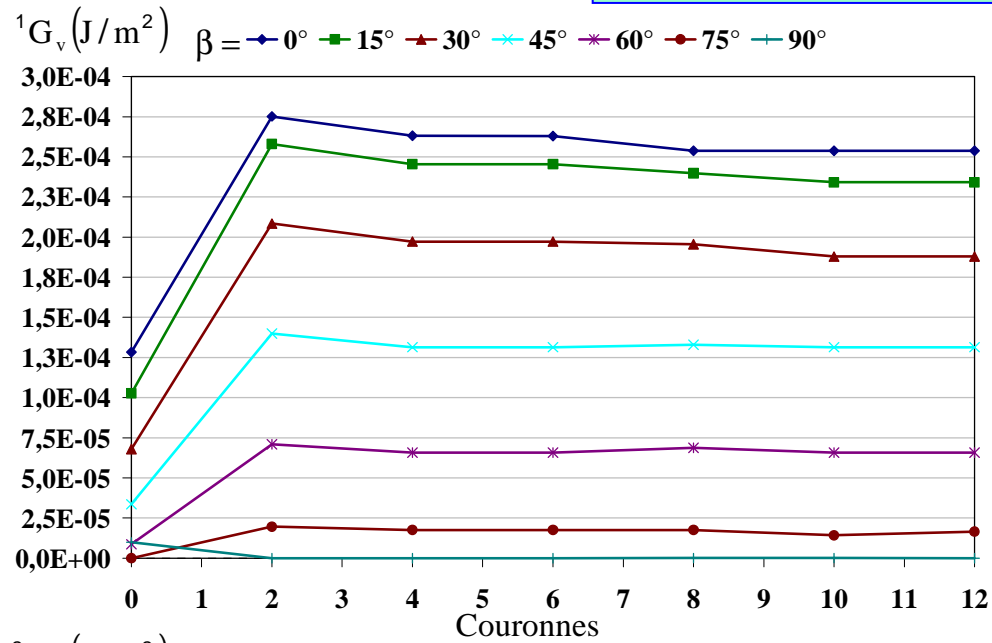
## Modélisation numérique



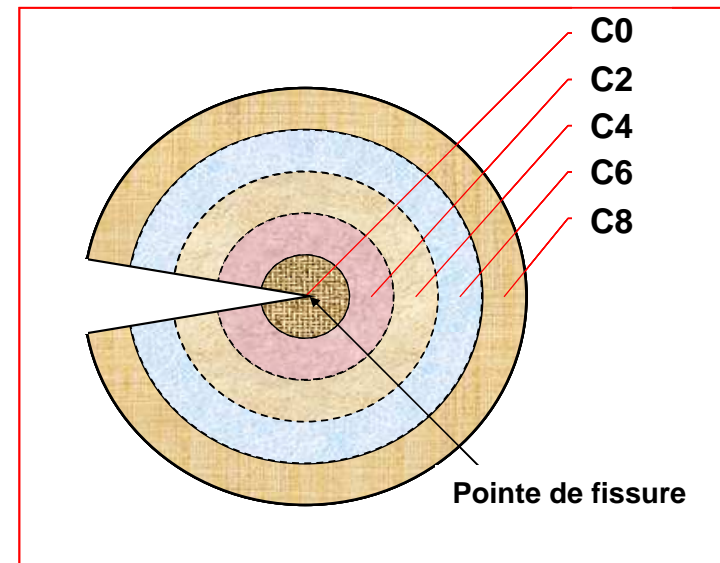
**Algorithme viscoélastique incrémental**



**Résultats numériques**

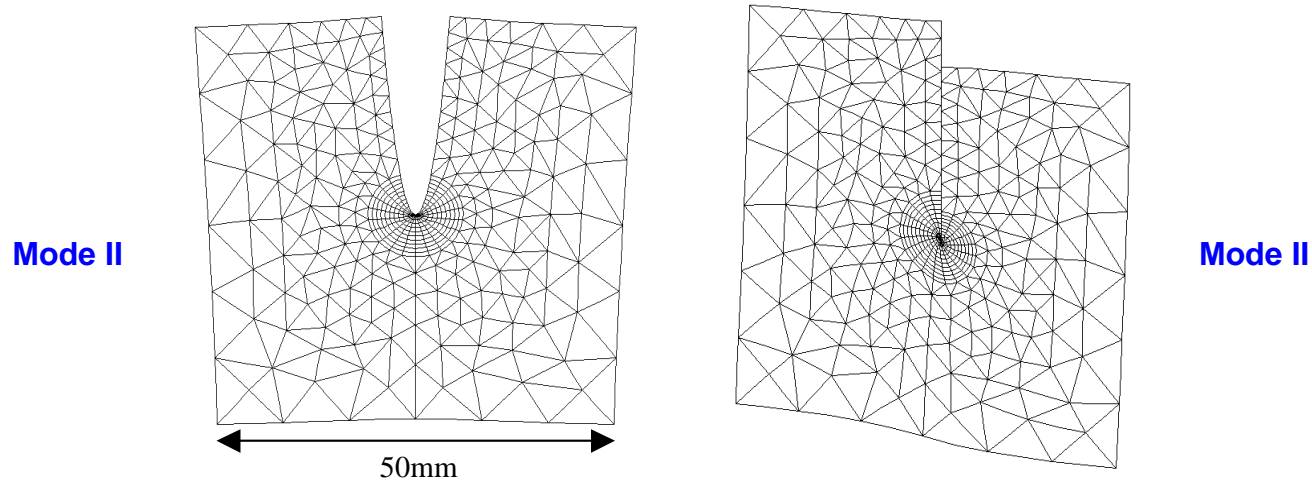


**Indépendance du domaine en mode I**

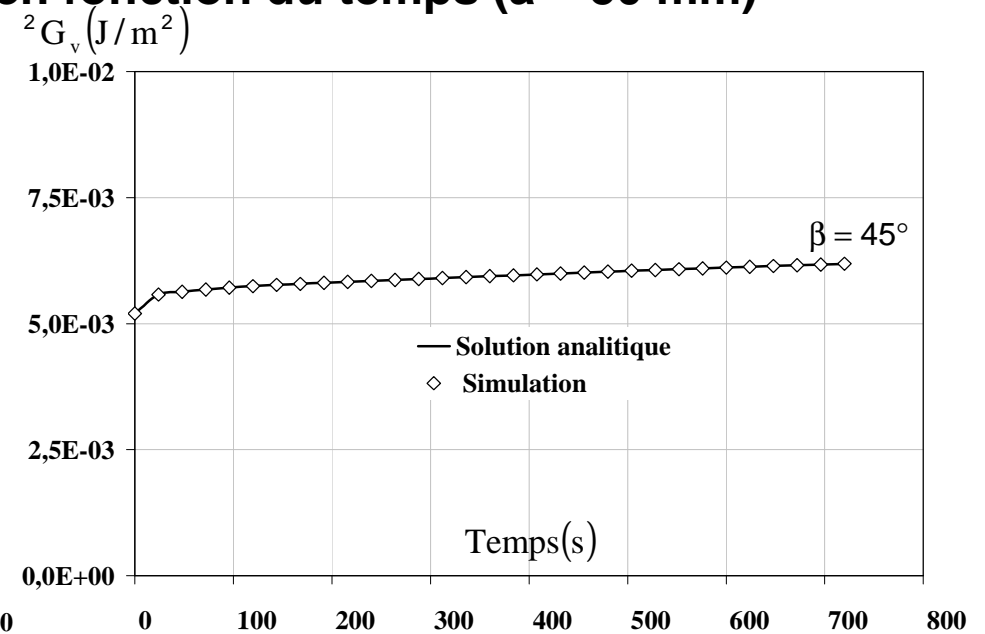
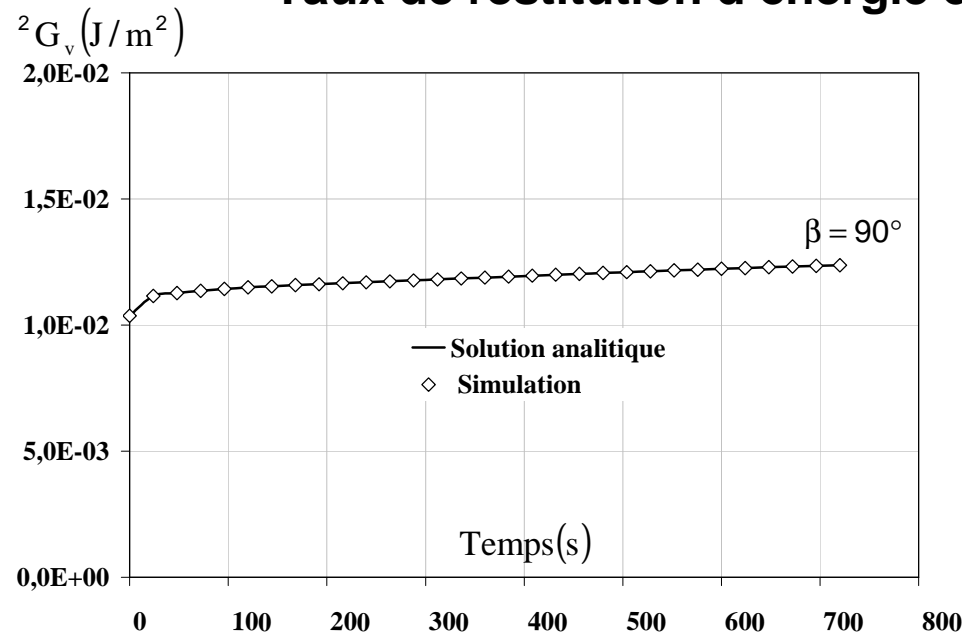


**Indépendance du domaine en mode II**

### Maillage déformé (a = 50 mm)



### Taux de restitution d'énergie en fonction du temps (a = 50 mm)



## Intégrale M en propagation

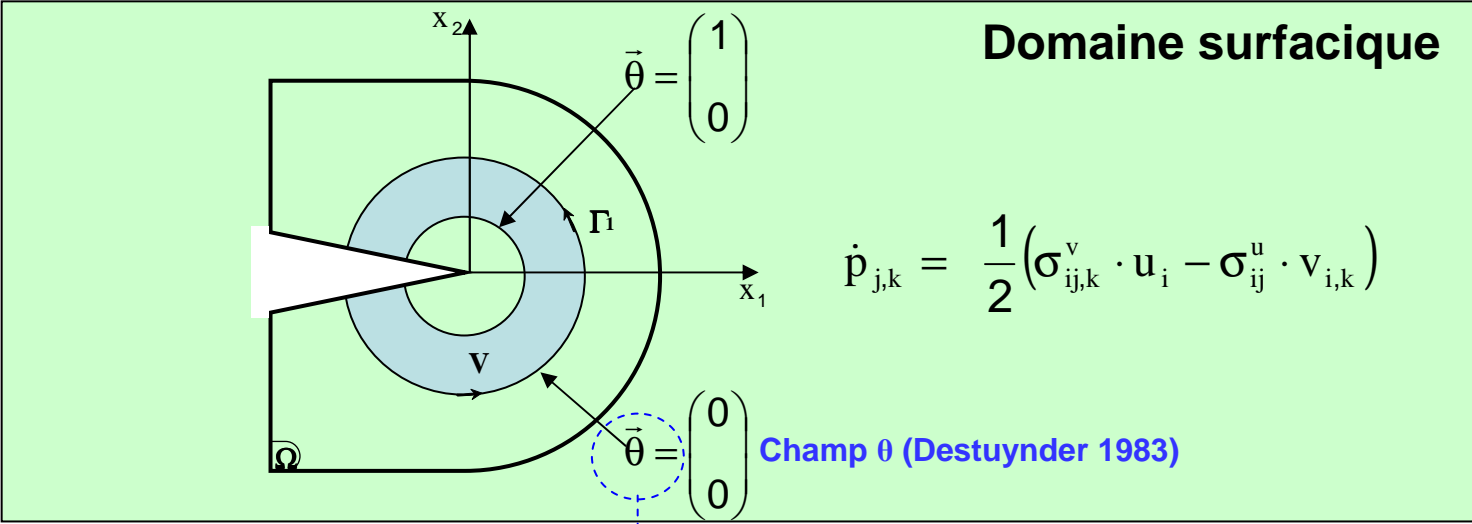
**Domaine d'intégration**

$$M = \frac{1}{2} \cdot \int_{\Gamma_1} (\sigma_{ij,1}^{(v)} \cdot u_i - \sigma_{ij}^{(u)} \cdot v_{i,1}) \cdot n_j \, d\Gamma_1 \quad \left. \vphantom{\int_{\Gamma_1}} \right\} \text{Fissure stationnaire}$$

**Champs virtuels**

$$+ \frac{1}{2} \cdot \int_{A(\Gamma_1)} \left( (\sigma_{ij,1}^{(v)} \cdot (u_{i,j})_{,1} - \sigma_{ij,1}^{(u)} \cdot (v_{i,j})_{,1}) - \left( (\sigma_{ij,1}^{(v)} \cdot u_{i,j})_{,1} - (\sigma_{ij,1}^{(u)} \cdot v_{i,j})_{,1} \right) \right) \cdot dV \quad \left. \vphantom{\int_{A(\Gamma_1)}} \right\} \text{Propagation de fissure}$$

**Champs réels**



**Forme modélisable de M**

$$M\theta = \frac{1}{2} \cdot \int_{\Omega} (\sigma_{ij}^{(u)} \cdot v_{i,j} - \sigma_{ij,k}^{(v)} \cdot u_i) \cdot \theta_{k,j} \, d\Omega$$

$$+ \frac{1}{2} \cdot \int_{\Omega} \left( (\sigma_{ij}^{(v)} \cdot (u_{i,j})_{,k} - \sigma_{ij}^{(u)} \cdot (v_{i,j})_{,k}) - \left( (\sigma_{ij}^{(v)} \cdot u_{i,j})_{,k} - (\sigma_{ij}^{(u)} \cdot v_{i,j})_{,k} \right) \right) \cdot \theta_k \, dV$$

## Généralisation au comportement viscoélastique

$$M\theta_v^{(p)} = \frac{1}{2} \cdot \int_{\Omega} \left( {}^u\sigma_{ij}^{(p)} \cdot v_{i,j}^{(p)} - {}^v\sigma_{ij,k}^{(p)} \cdot u_i^{(p)} \right) \cdot \theta_{k,j} d\Omega$$

$$+ \frac{1}{2} \cdot \int_{\Omega} \left( \left( {}^v\sigma_{ij}^{(p)} \cdot \left( u_{i,j}^{(p)} \right)_{,k} - {}^u\sigma_{ij}^{(p)} \cdot \left( v_{i,j}^{(p)} \right)_{,k} \right) - \left( \left( {}^v\sigma_{ij}^{(p)} \cdot u_{i,j}^{(p)} \right)_{,1} - \left( {}^u\sigma_{ij}^{(p)} \cdot v_{i,j}^{(p)} \right)_{,k} \right) \right) \cdot \theta_k dV$$

## Facteurs d'intensité de contrainte

$${}^u K_I^p = \frac{8 \cdot M\theta_v^p(u, v) ({}^v K_I^p = 1, {}^v K_{II}^p = 0)}{C_1^p} \quad \text{et} \quad {}^u K_{II}^p = \frac{8 \cdot M\theta_v^p(u, v) ({}^v K_I^p = 0, {}^v K_{II}^p = 1)}{C_2^p}$$

## Taux de restitution d'énergie

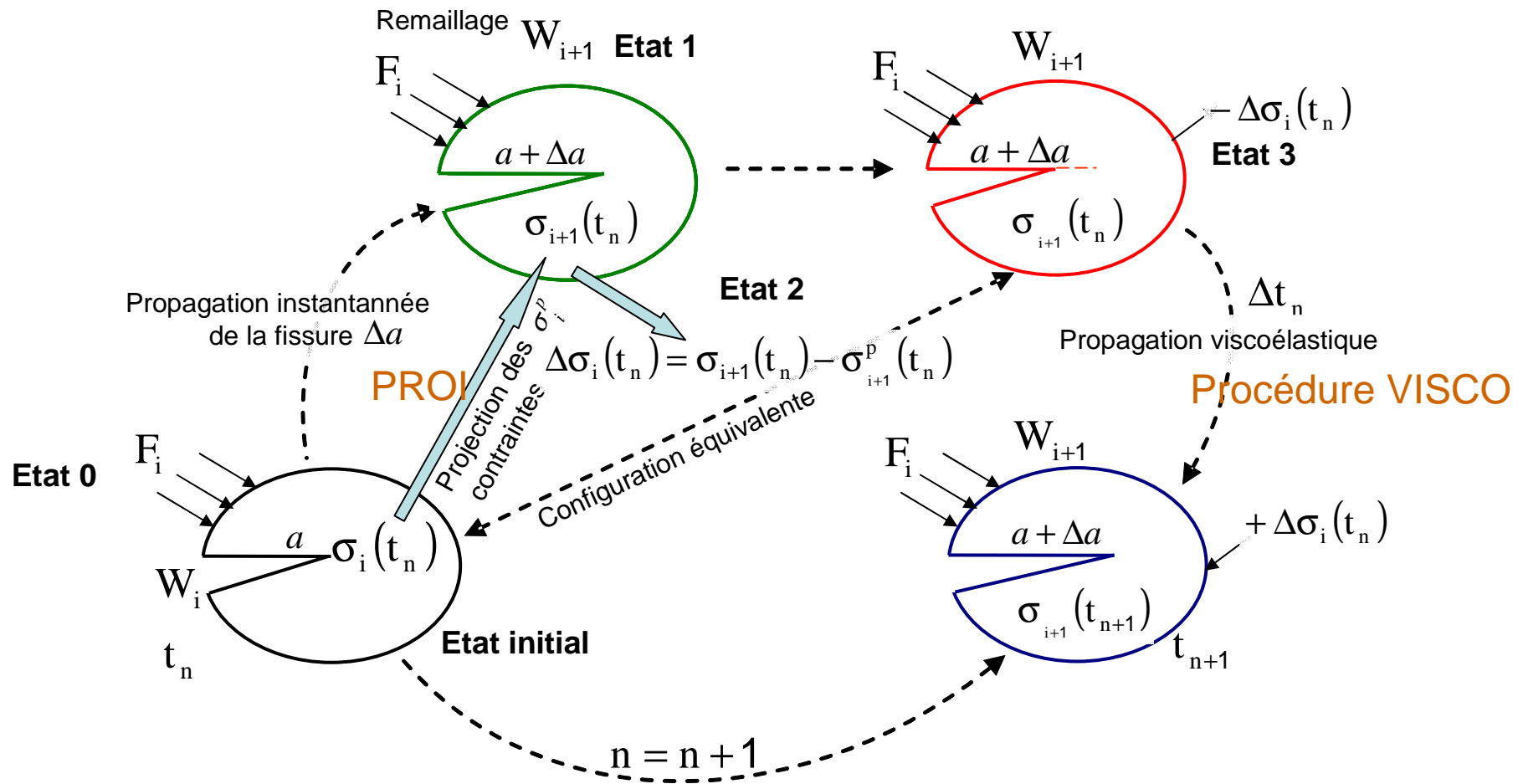
$$G_v^p = {}^1G_v^p + {}^2G_v^p = C_1^p \frac{({}^u K_I^p)^2}{8} + C_2^p \frac{({}^u K_{II}^p)^2}{8}$$



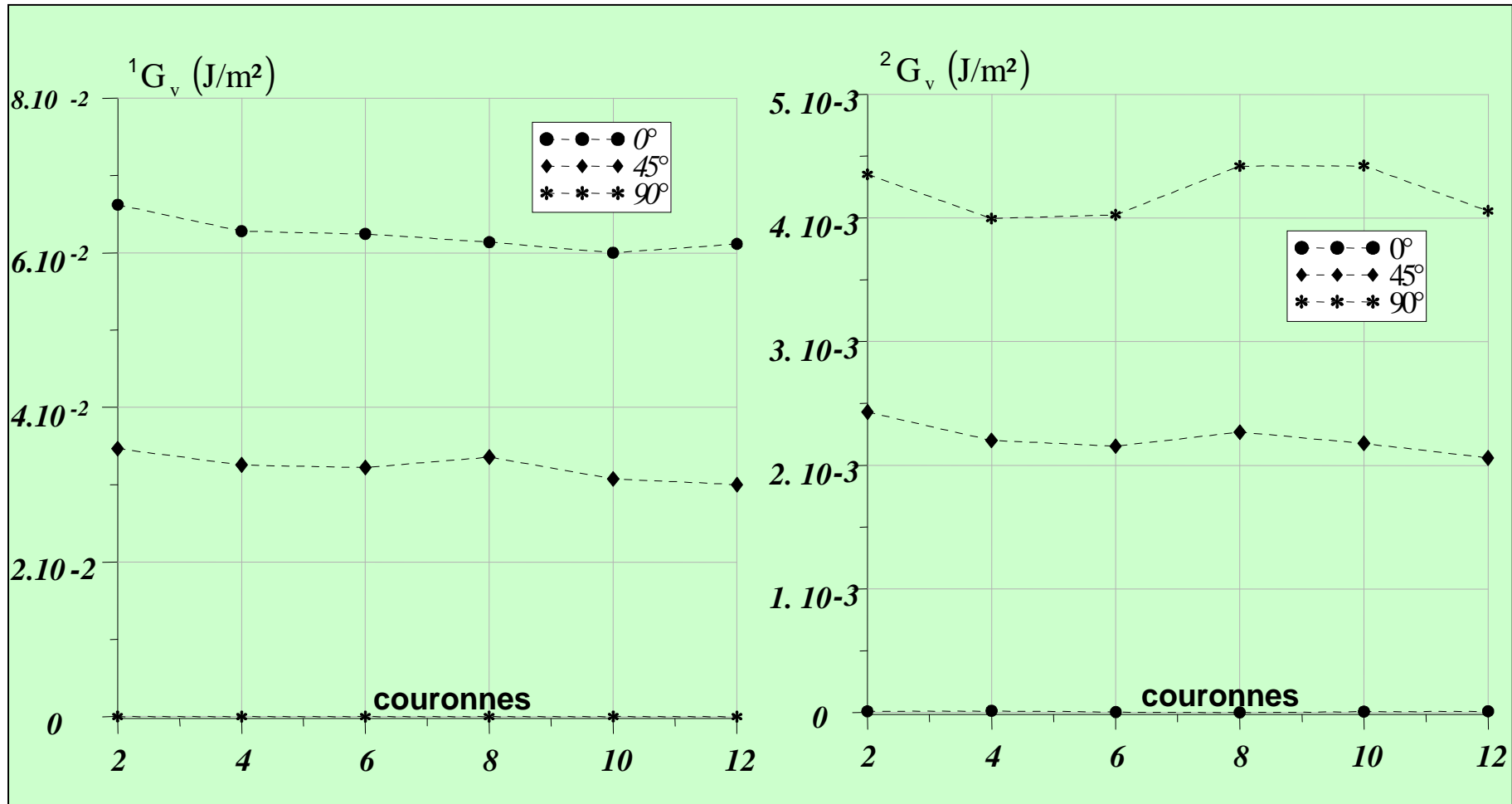
$${}^1G_v = \sum_p {}^1G_v^p \quad \text{et} \quad {}^2G_v = \sum_p {}^2G_v^p$$

# Algorithme de propagation viscoélastique

## Procédure MTθ en propagation



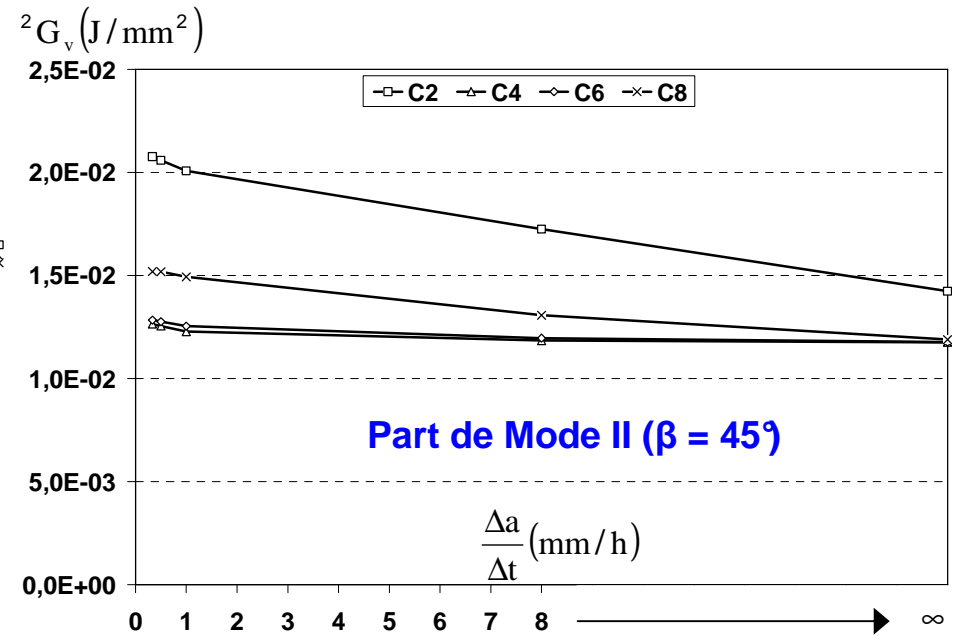
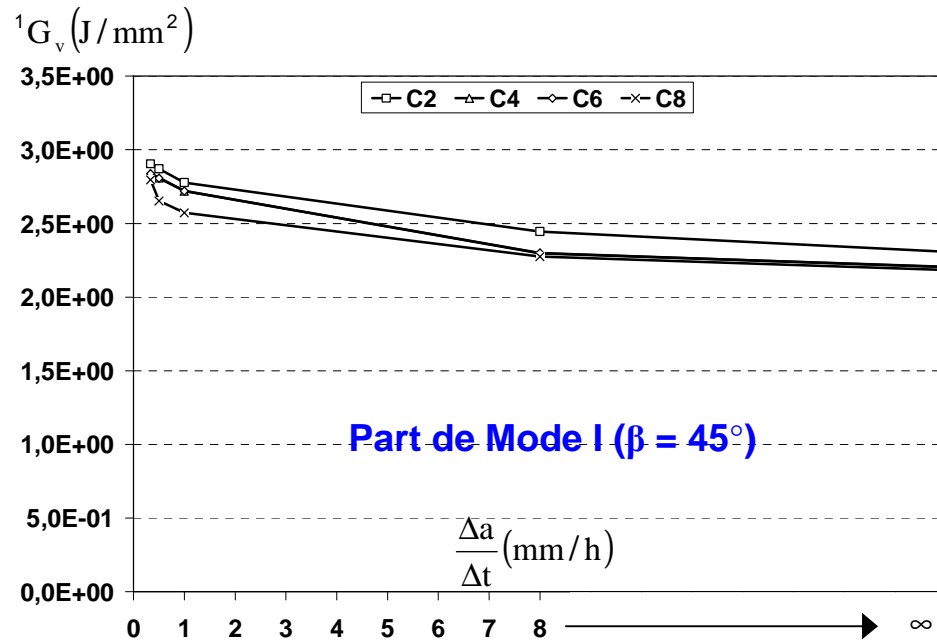
## Résultats numériques (Castem)

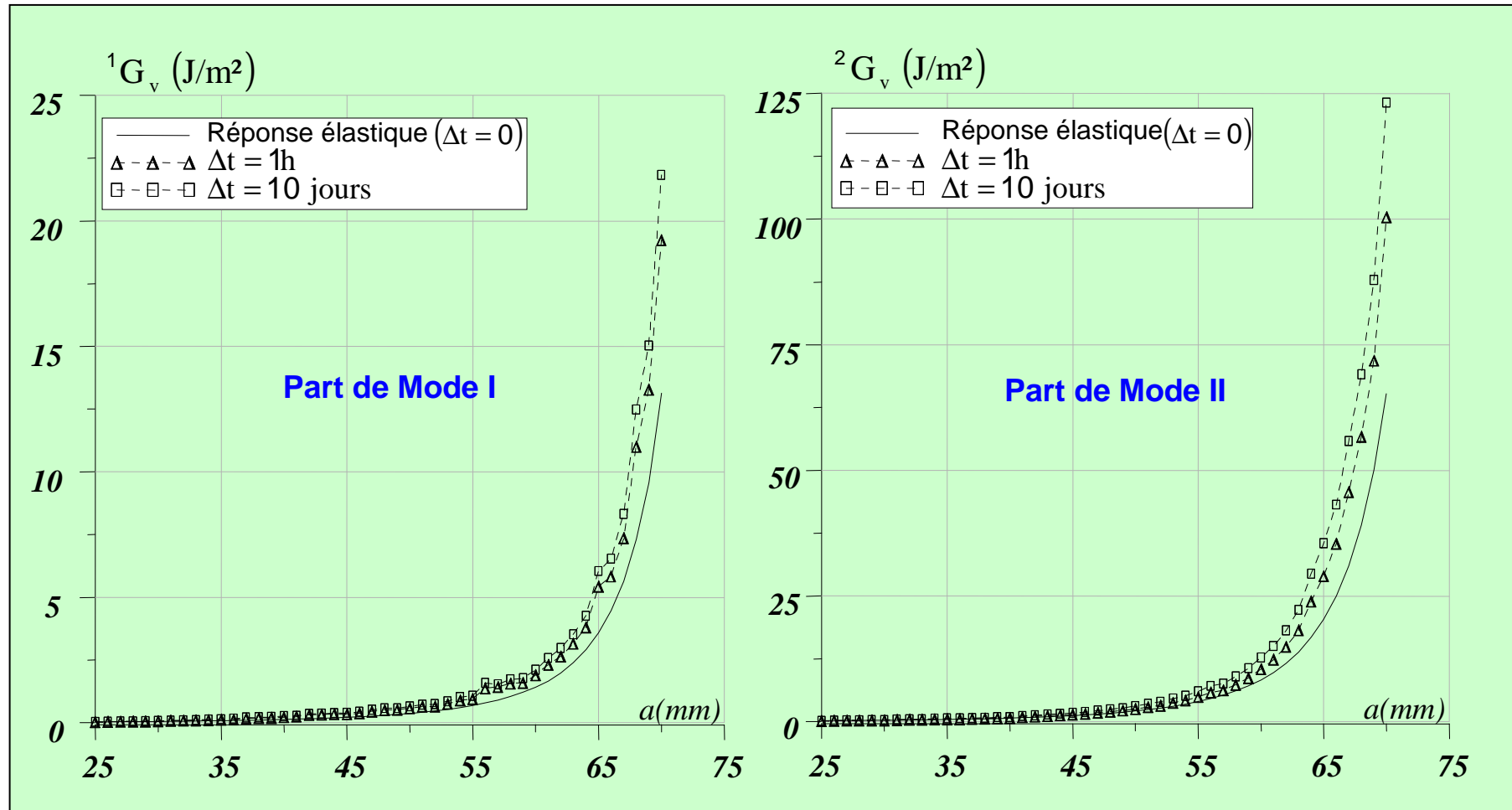


Indépendance du domaine d'intégration  
( $\Delta a = 1\text{mm}$ ;  $a = 30\text{mm}$ )



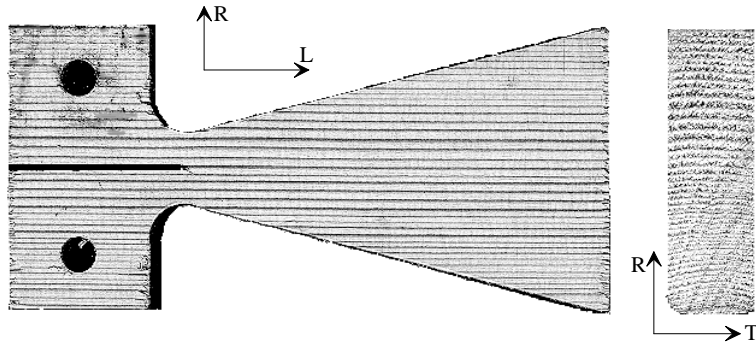
## Taux de restitution d'énergie et vitesse de propagation ( $\Delta a = 8\text{mm}$ ; $a = 65\text{mm}$ )



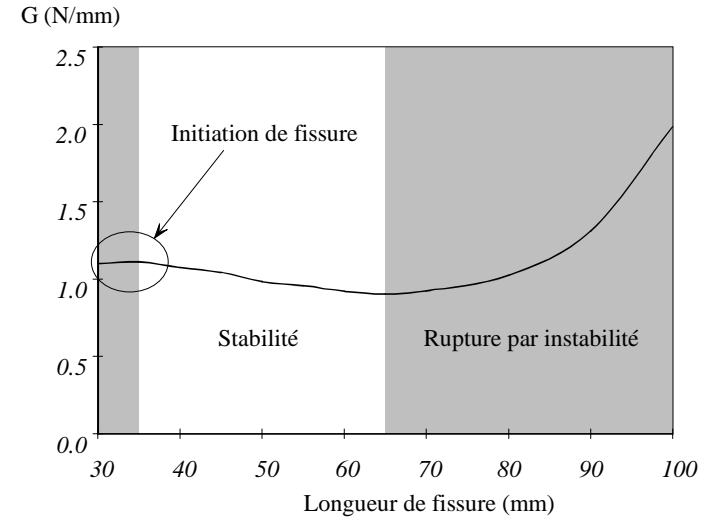


Taux de restitution d'énergie et longueur de fissure pour  $\beta=45^\circ$   
 ( $\Delta a = 1\text{mm}$  ; C8)

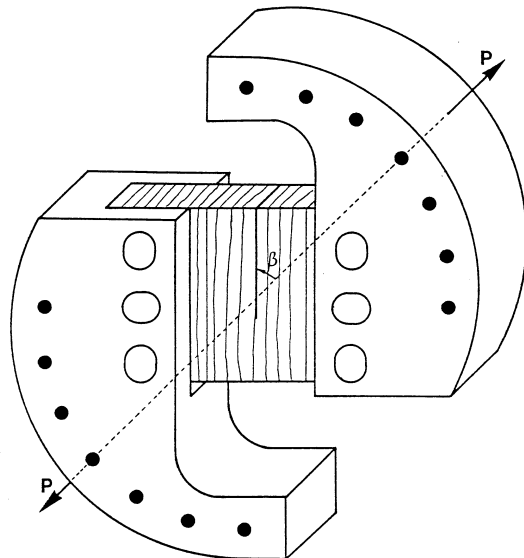
## Objectifs et Conception (Castem)



**Eprouvette DCB (Double Cantilever Beam)**  
(Dubois et al. 2002)

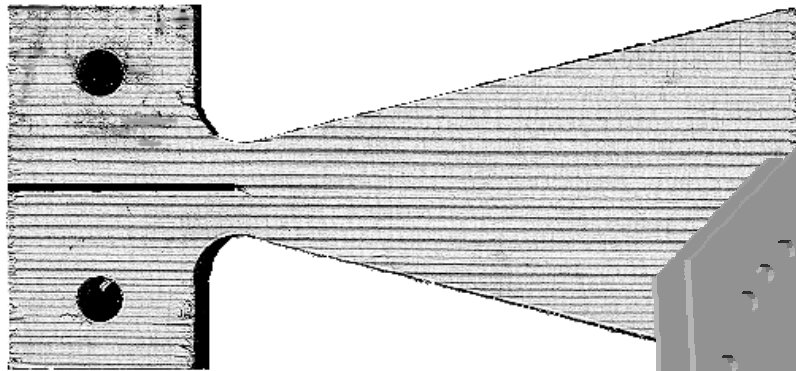


**G élastique (Dubois et al. 2002)**

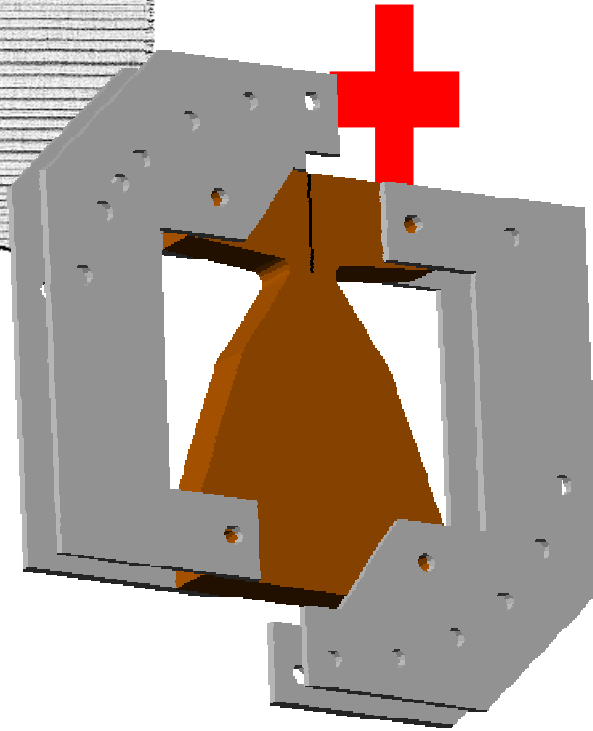
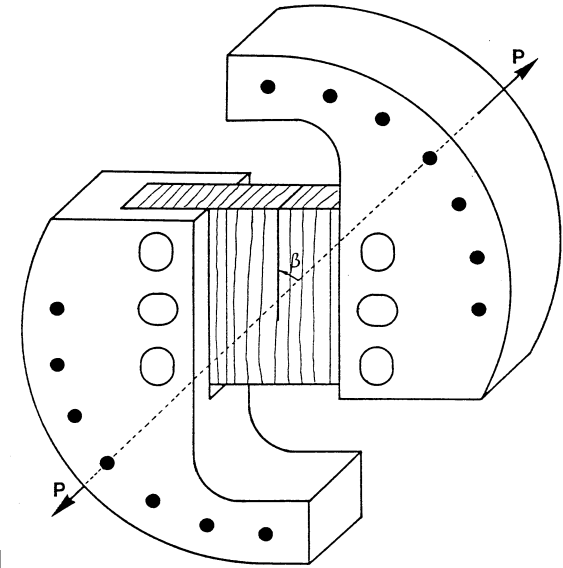


**Eprouvette CTS (Compact Tension Shear)**  
(Valentin et Caumes 1989)

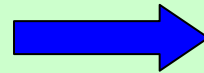
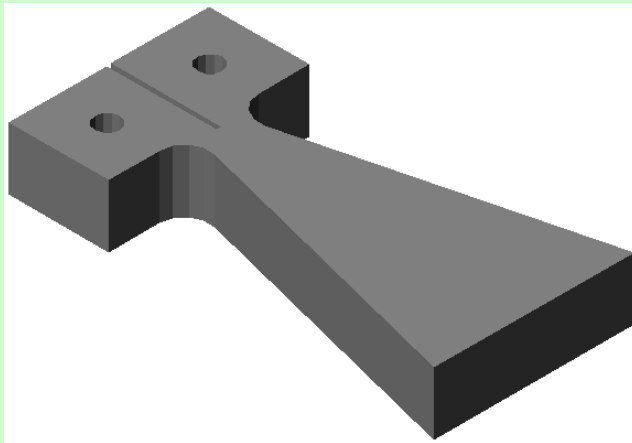
DCB



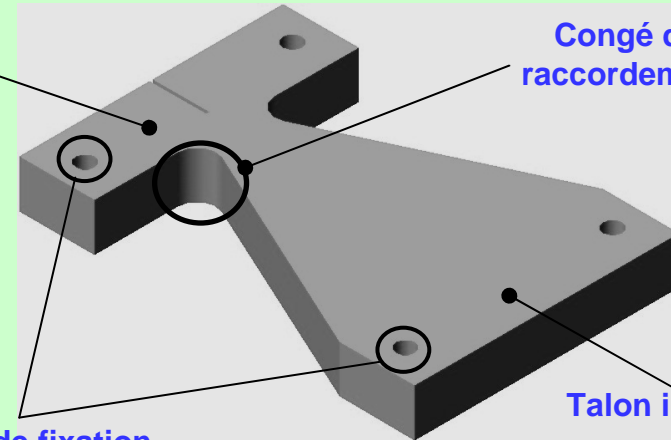
CTS



2MCG



Talon supérieur

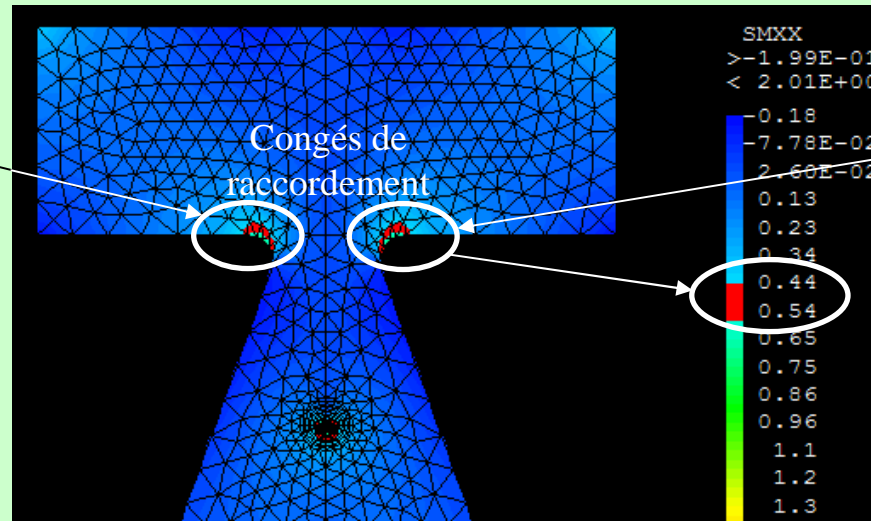
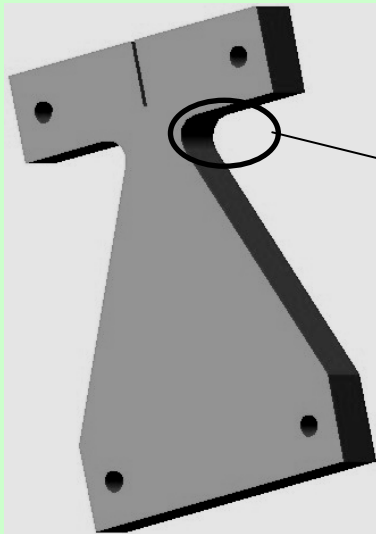


Congé de raccordement

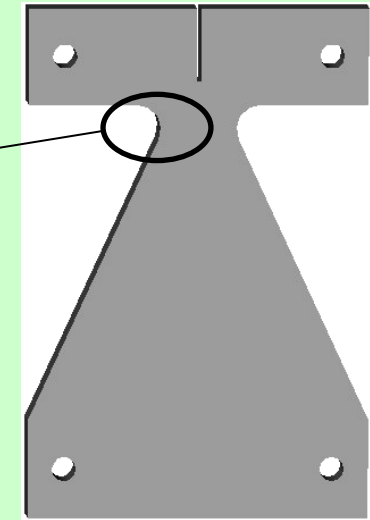
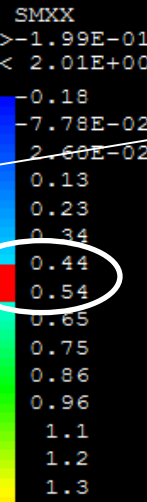
Talon inférieur

Trous de fixation

### Conception initiale de l'éprouvette

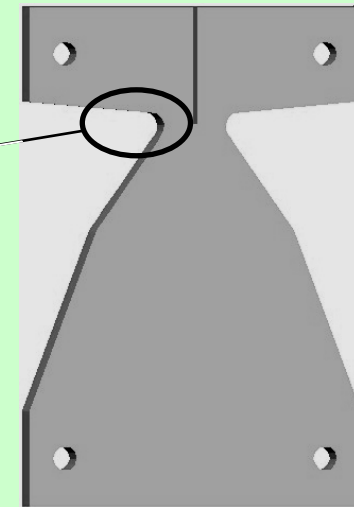
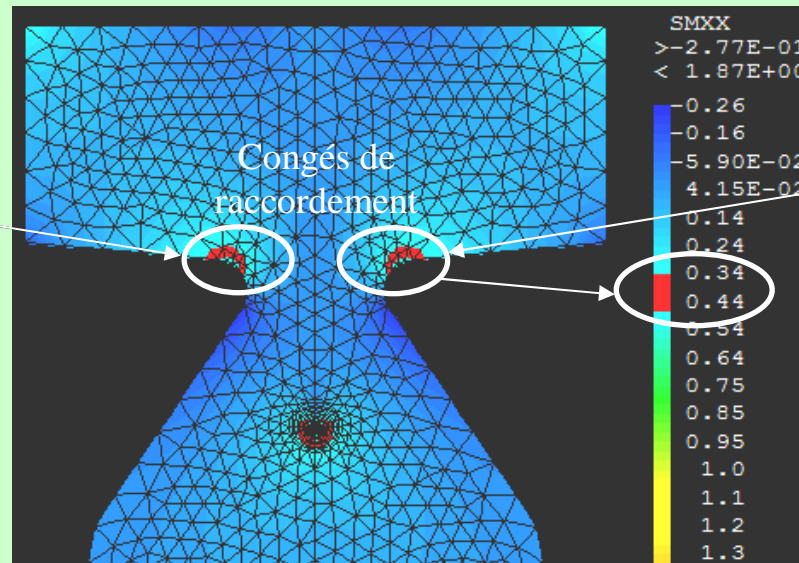
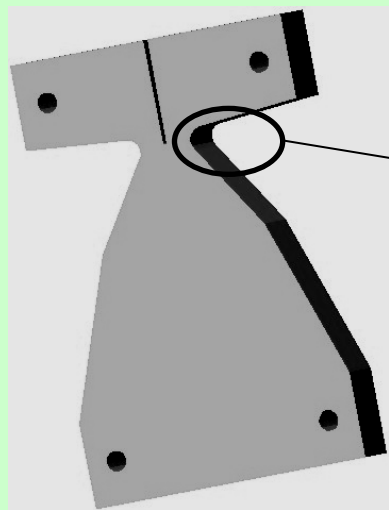
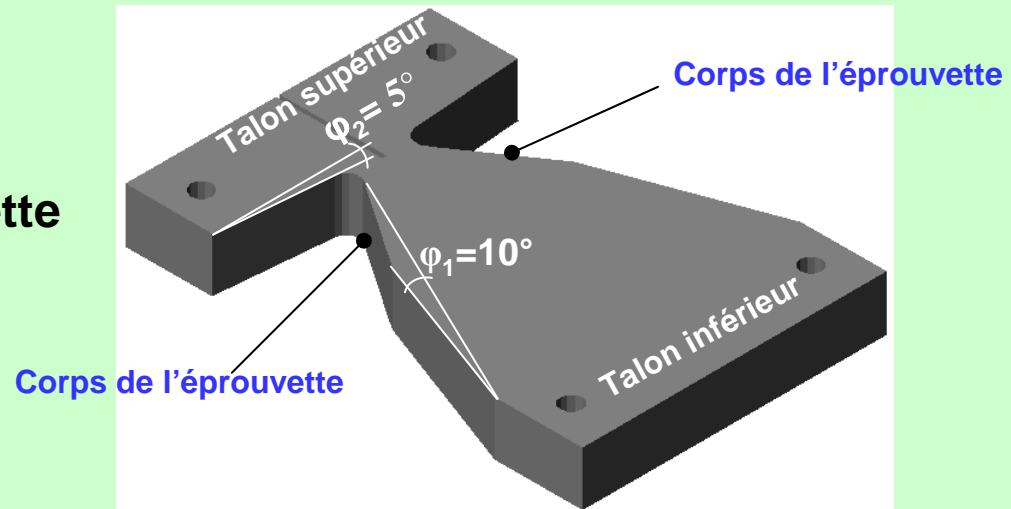


Congés de raccordement



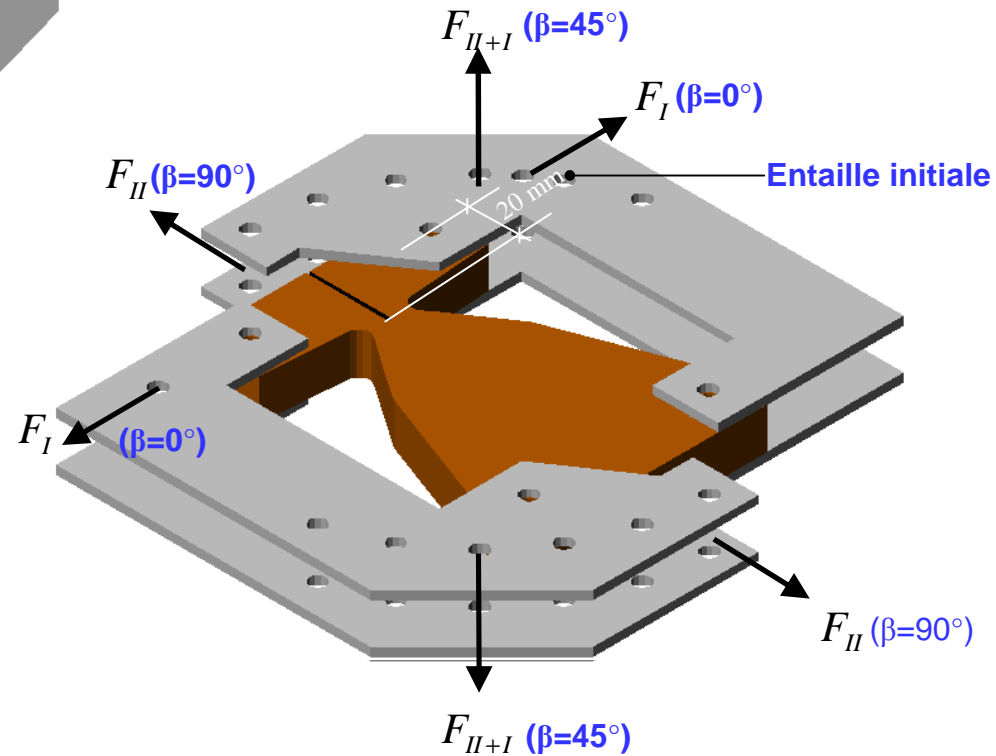
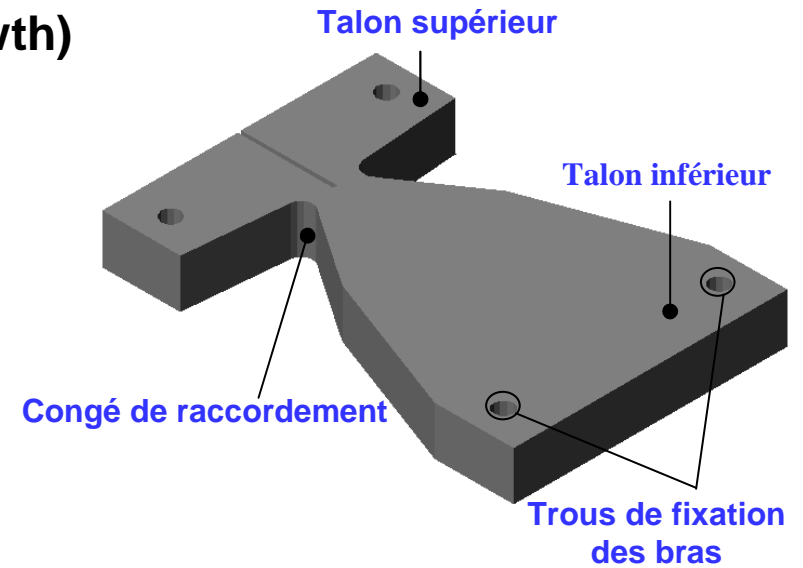
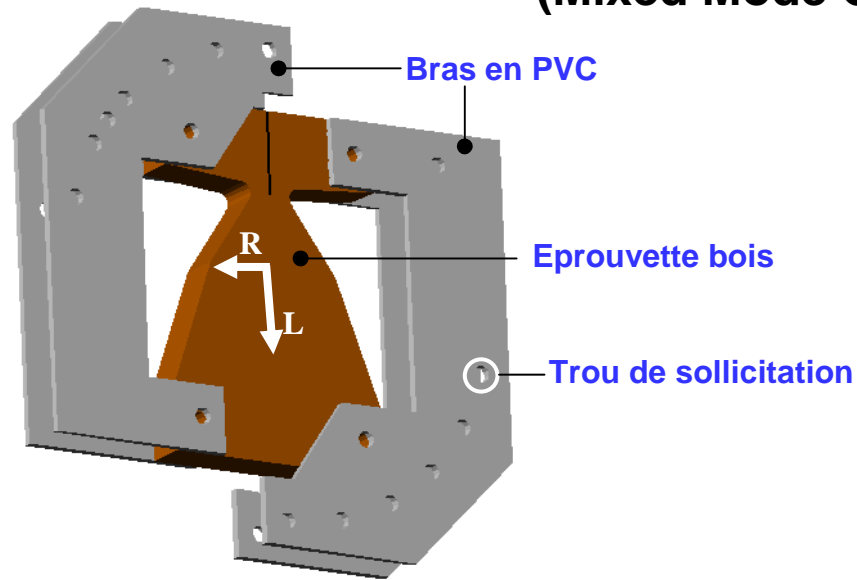
### Vérification éléments finis en mode I

### Optimisation de l'éprouvette



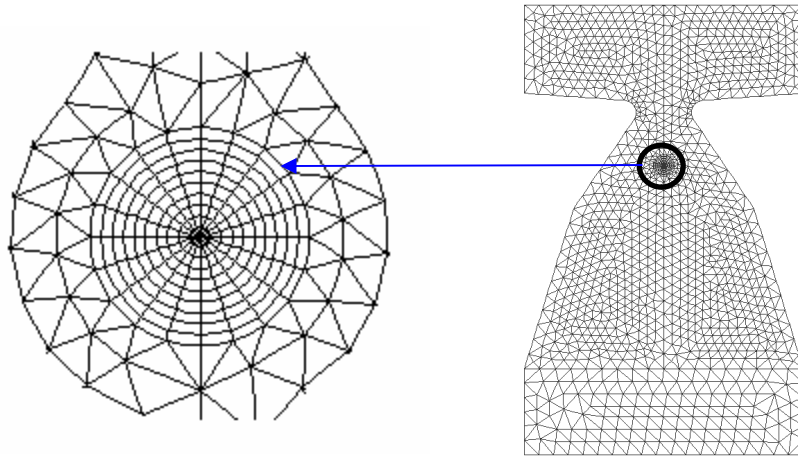
### Vérification éléments finis en mode I

## Eprouvette 2MCG (Mixed Mode Crack Growth)



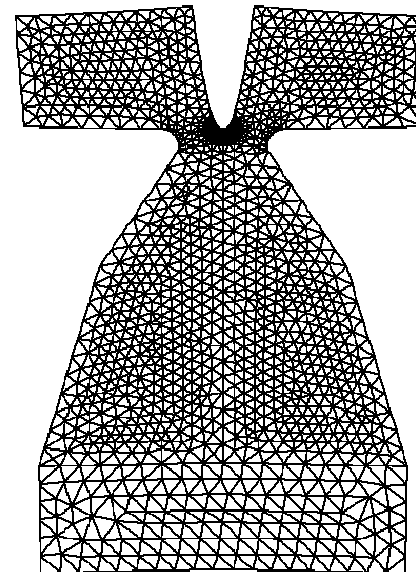
## Résultats numériques (Castem)

### Maillage éléments finis

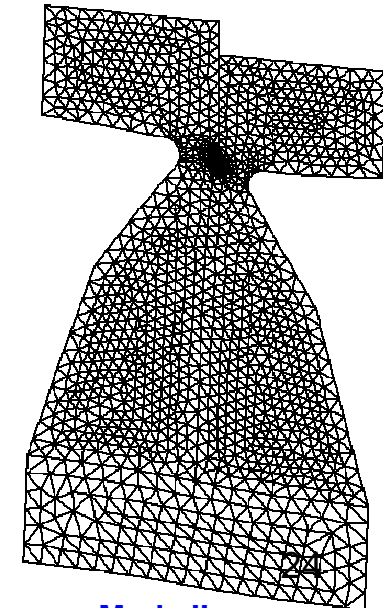


Maillage rayonnant en  
pointe de fissure

Déplacements virtuels  
(Maillage déformé)



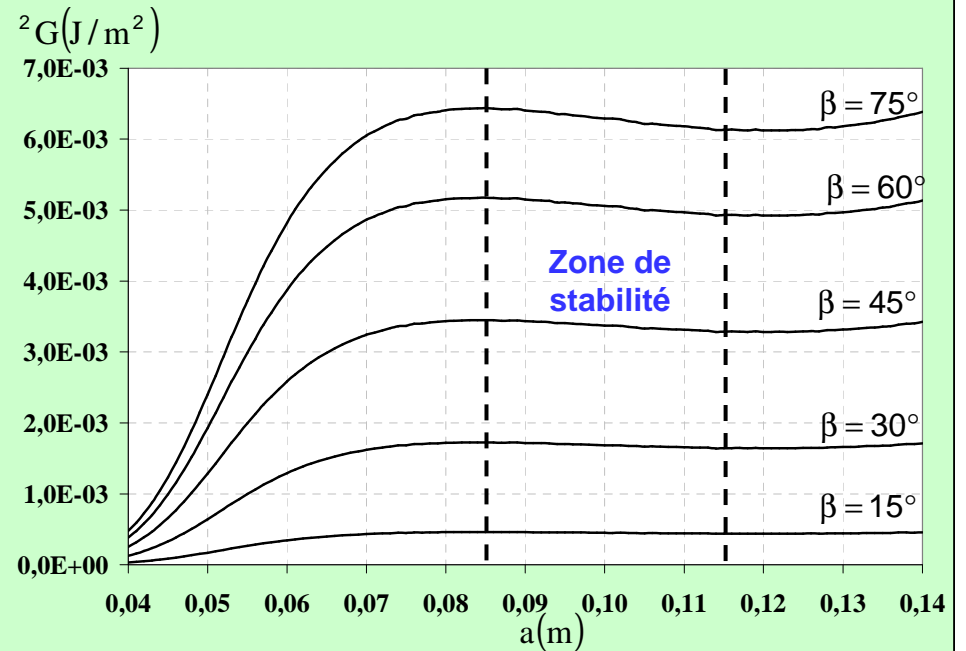
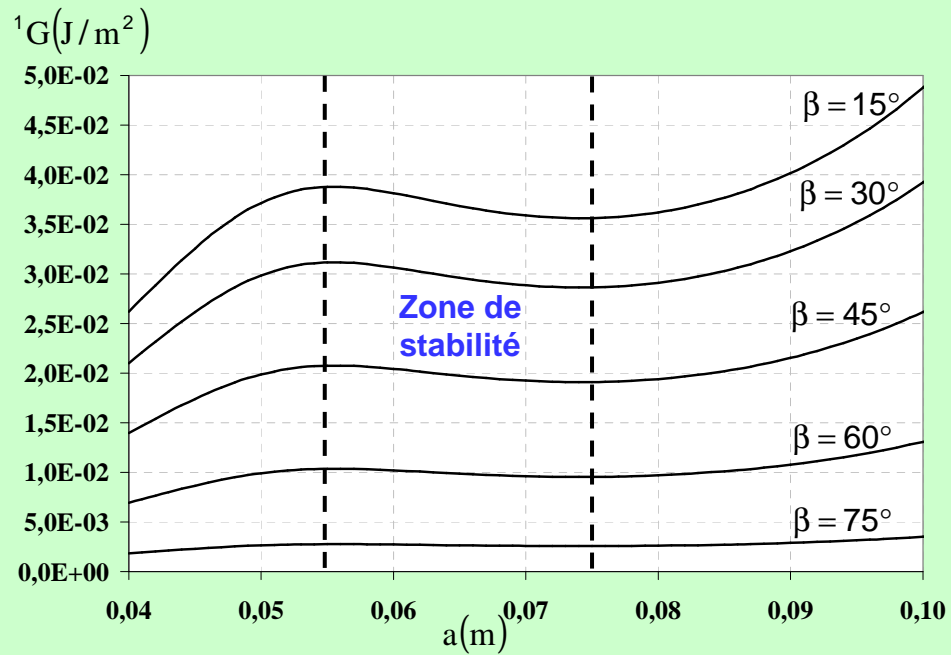
Mode I



Mode II

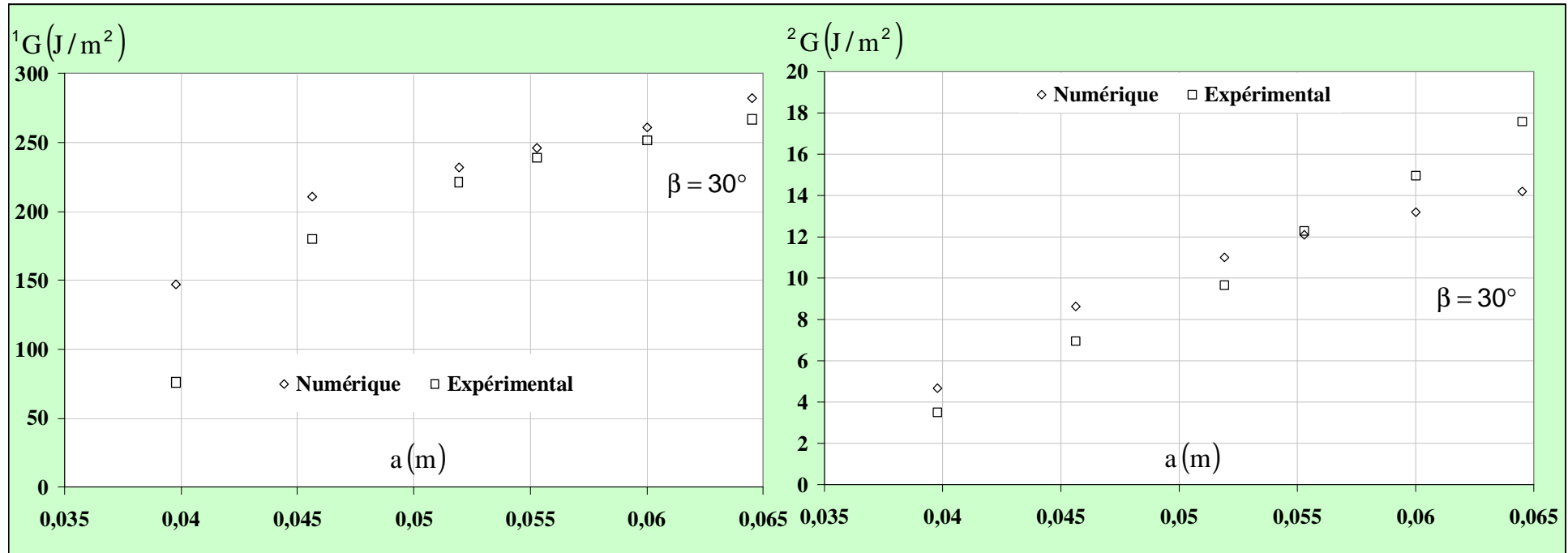


## Zones de stabilité



# Taux de restitution d'énergie découplé

## Comparaison numérique/expérimentale

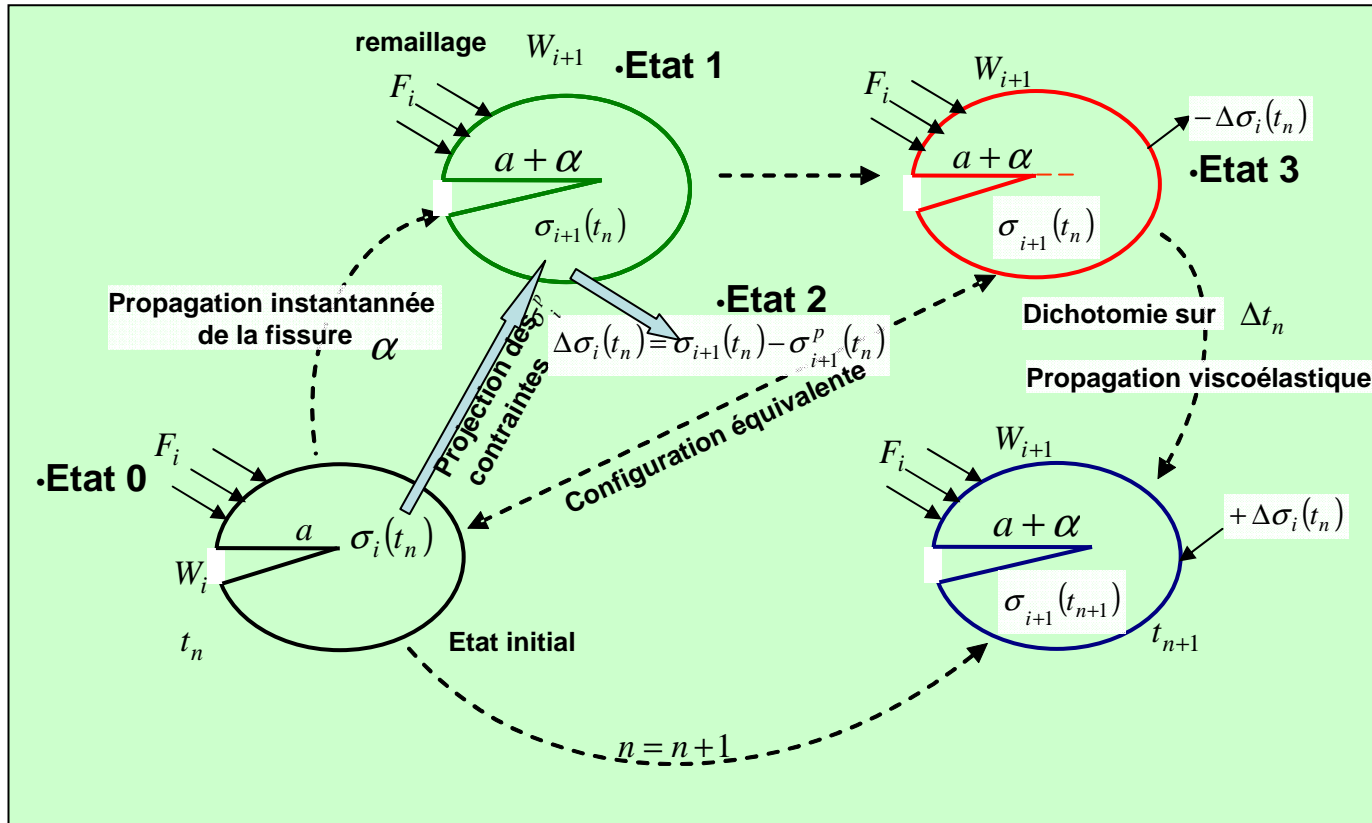
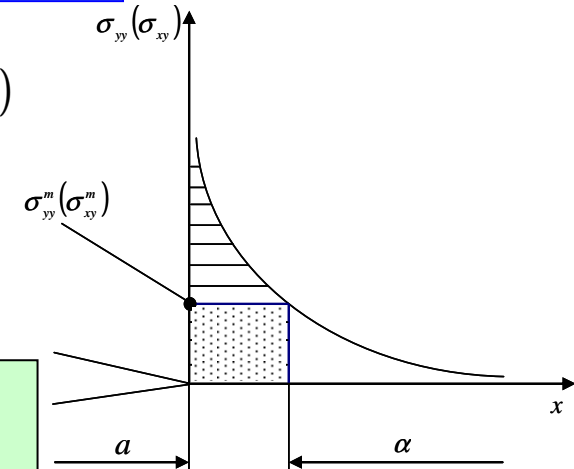


Dispositif expérimental en mode I ( $\beta=0^\circ$ , hêtre)

# Propagation viscoélastique réelle

$$f = \frac{{}^1G_v}{{}^1G_C} + \beta \frac{{}^2G_v}{{}^2G_C} \quad (f = 1 \Rightarrow \text{Propagation}, f < 1 \Rightarrow \text{fissure stationnaire})$$

## Fonctionnelle



$f(a + \alpha, t + \Delta t) = 1$   
 Longueur de la zone d'élaboration

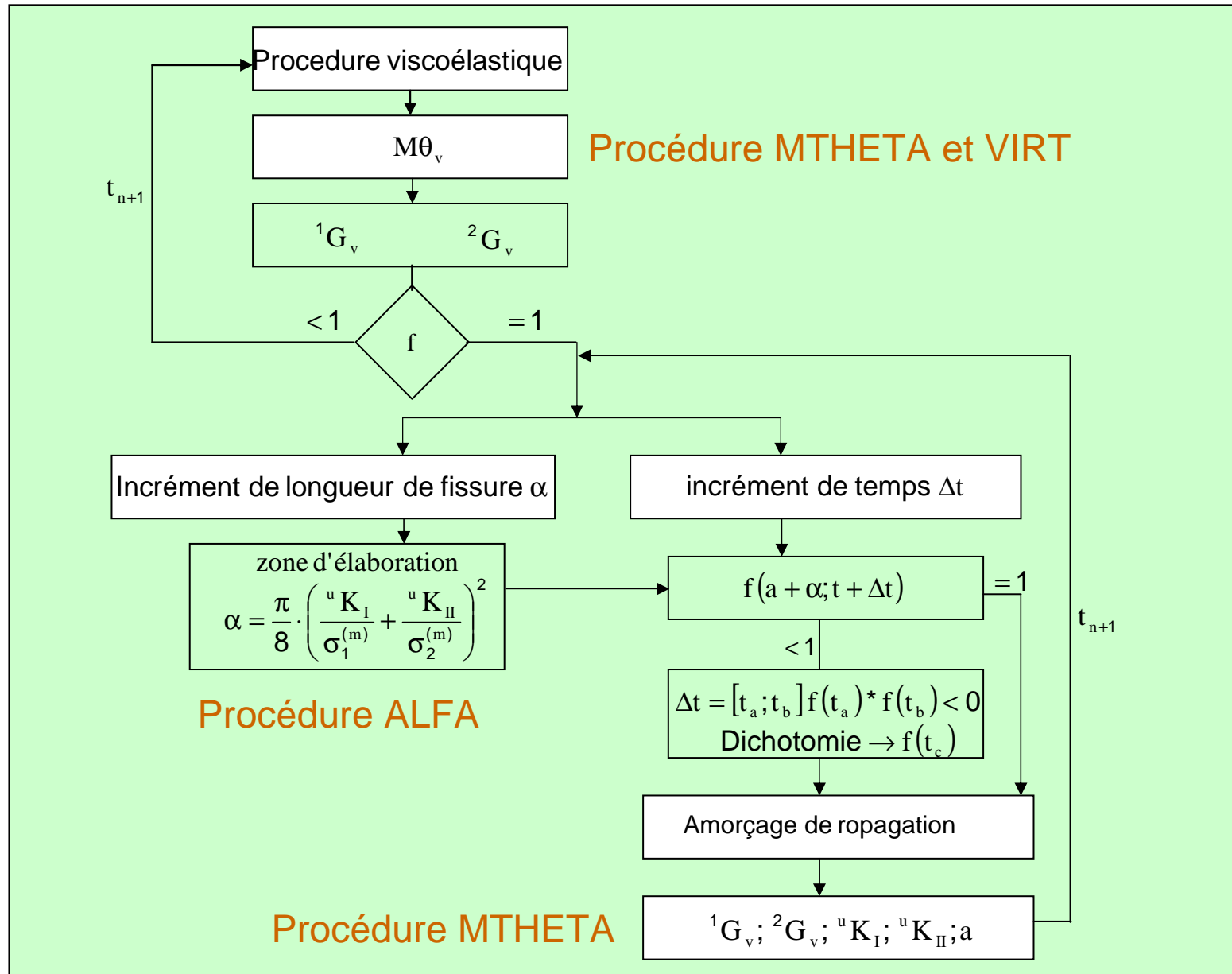
$$\alpha = \frac{\pi}{8} \cdot \left( \frac{{}^u K_I}{{}^m \sigma_{yy}^{(m)}} + \frac{{}^u K_{II}}{{}^m \sigma_{xy}^{(m)}} \right)^2$$

Mode I                      Mode II

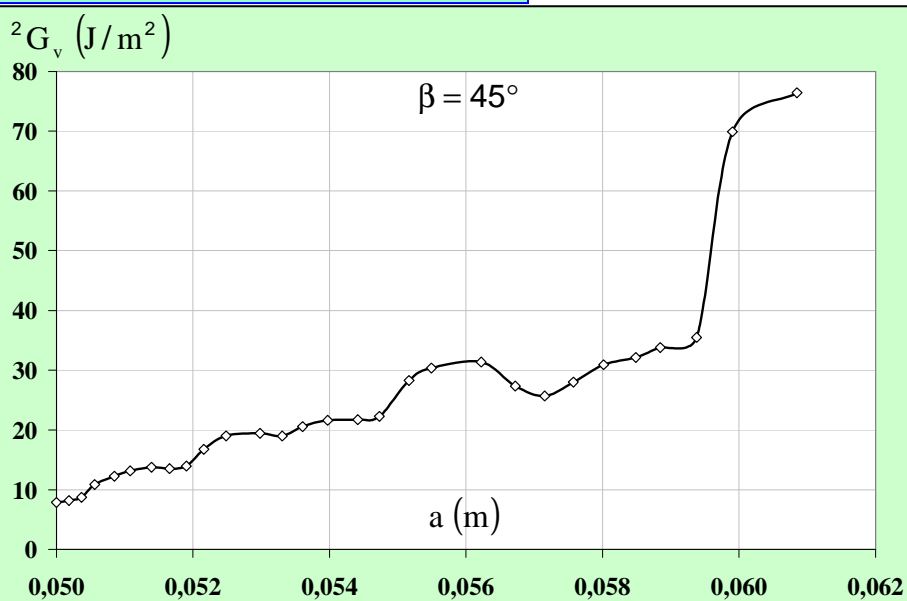
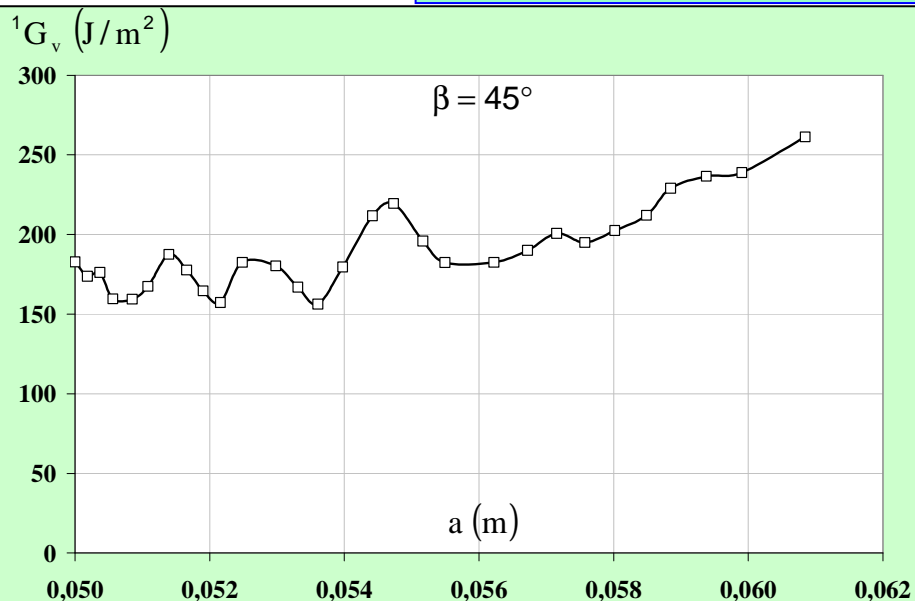
Contraintes limites en traction

## Algorithme de propagation

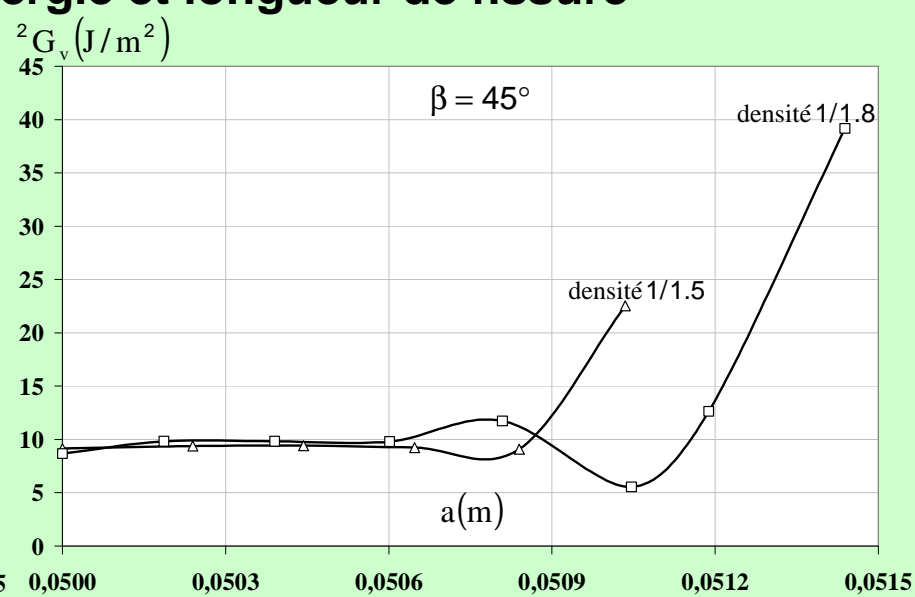
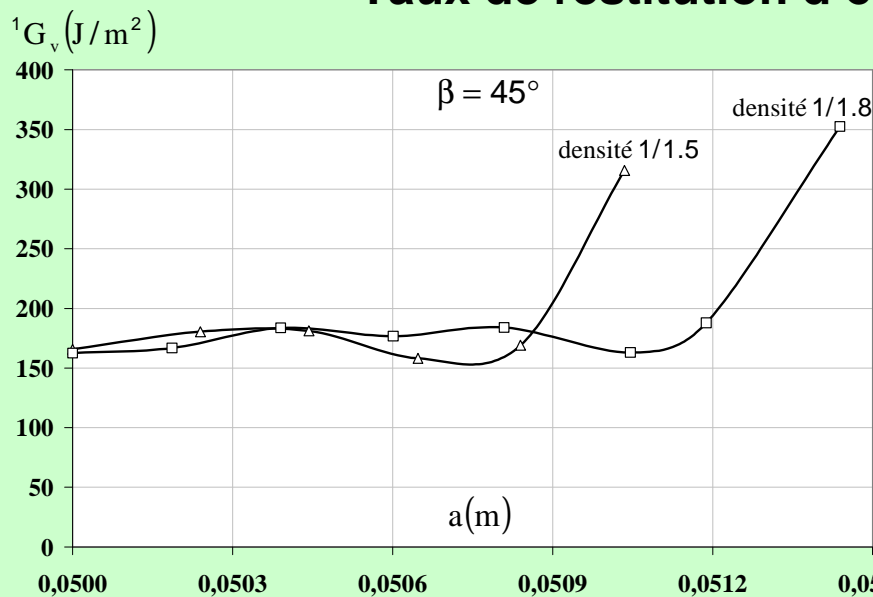
## Algorithme d'amorçage de fissure et dichotomie



# Résultats numériques



## Taux de restitution d'énergie et longueur de fissure



## Conclusions et perspectives

**Modélisation numérique de l'intégrale M pour une fissure stationnaire**

**Modélisation numérique de M en propagation viscoélastique**

**Conception numérique de l'éprouvette 2MCG et comparaison aux prédictions**

**Propagation viscoélastique avec les phases d'amorçage et de propagation**

**Optimisation numérique de l'éprouvette 2MCG**

**Modélisation numérique des intégrales T et A (champs thermiques)**

**Propagation viscoélastique intégrant les phénomènes mécanosorptifs**

# MODÉLISATION DE LA PROPAGATION DE FISSURE DANS LES MATÉRIAUX VISCOÉLASTIQUES ORTHOTROPES

Présenté par: Rostand MOUTOU PITTI

Le 21 novembre 2008, Paris

Groupe d'Etude des Matériaux Hétérogènes (GEMH)

Université de Limoges

Centre Universitaire Génie Civil, 19300 Egletons